





دانشگاه صنعتی شهرورد

دانشکده: شیمی

گروه: شیمی معدنی

تهیه و شناسایی بسترهای کاتالیستی ساپورت شده توسط هتروپلی اسیدها
کاربرد آن‌ها در واکنش‌های کاتالیتیکی

دانشجو:

مریم خسروی مقدم

استاد راهنما:

دکتر مهدی میرزایی

استاد مشاور:

دکتر بهرام بهرامیان

پایان نامه جهت اخذ درجه کارشناسی ارشد

تیر ماه ۱۳۹۰

تُقْرِيبٌ حَالِهَا

به پدر و مادرم

به پاس عاطفه سرشار و گرمای امیدبخش وجودشان که در این سردمیرین روزگاران بهترین پشتیبان است.

به پاس قلب‌های بزرگشان که سرگردانی و ترس در پناهشان به شباءعت می‌گراید و به پاس محبتهای بی‌دیغشان که هرگز فروکش نمی‌کند.

به همسر مهریانم

به پاس همدلی‌های بی‌منتشر، همیاری‌های ارزنده‌اش و محبت بی‌دیغش که پیمورن راه را بر من آسان گردانید.

به برادران عزیزم

همراهان لحظات تلخ و شیرین زندگی‌ام، که همواره پشتیبان و حامی من هستند.

و همه آنان که روستشان دارم.

تشکر و قدردانی

حمد و سپاس خدای را که به من سعادت گذر از مرحله دیگری از دوران آموختن و توفیق کسب داشت
و معرفت را عطا فرمود.

این دفتر بخانه ای است برای ارج نهادن به زحمات و بزرگواری های عزیزانی که در این دوران راهنمای
و یاورم بودند. آنانی که دست یاری مرا صمیمانه در دستان پرمه رخود فشردند.

از خانواده عزیزم که امکان علم آموختن را از کودکی تا به امروز برایم فراهم کردند و همواره در
تمام مراحل زندگی حاضر و پشتیبانم بودند صمیمانه تشکر می کنم.

از تمامی معلمانم در تمام دوران های تحصیل که بی وقه در تعلیم من کوشیدند کمال تشکر را
دارم.

از استاد راهنمای بزرگوارم، جناب آقای دکتر مهدی میرزایی، که در تمام مراحل با صبر و حوصله و
فروتنی وصف ناپذیر، دانش و تجربیات ارزشی خود را خالصانه در اختیارم قرار داده و با دقت و نکته
سنجد فراوان در مراحل تکمیل و نوشتمن این پایان نامه یاریم کردند، صمیمانه قدردانی می نمایم.

از جناب آقای دکتر بهرام بهرامیان، استاد محترم مشاور، که با دقت فراوان این پایان نامه را مطالعه
کرده و نکات ارزشمندی را متذکر شدند، تشکر فراوان دارم.

از جناب آقای دکتر پورامینی و جناب آقای دکتر طبیبی که زحمت مطالعه و داوری پژوهش را متقبل
شدند نهایت تشکر را دارم.

از جناب آقای مهندس وحید کلی، مرحوم جناب آقای حسین قربانی و سرکار خانم بونجی که کمال
همکاری را با اینجانب داشتند قدردانی می نمایم.

همچنین از کلیه اساتیدی که افتخار شاگردی در محضرشان را داشتم، و سایر اعضای محترم گروه
شیمی به خصوص سرکار خانم جعفری تشکر می کنم.

از تمامی دوستان و همکلاسی های خوبم که خالق بهترین، لطیف ترین و ماندگارترین خاطرات من
بودند بسیار سپاسگزارم.

در نهایت از تمام کسانی که به هر نحو زحمتی بر دوش آنها نهادم قدردانی می کنم و از خداوند
متعال سلامتی و موفقیت آنها را در تمام مراحل زندگی خواستارم.

چکیده

در این تحقیق قابلیت جذب هتروپلی اسیدهای مختلف ($H_4SiW_{12}O_{40}$, $H_3PW_{12}O_{40}$) و ZrO_2 ($H_5SiMo_2VW_9O_{40}$) برای تثبیت شدن روی پودرهای اکسید فلزی گوناگون (TiO_2 تجاری، سل-ژل و هیدروترمال) بررسی گردید. تثبیت شدن هتروپلی اسید روی سطح اکسیدهای فلزی به TiO_2 وسیله‌ی طیفبینی IR و UV-Vis, آنالیز حرارتی و SEM بررسی شد. بررسی‌ها نشان داد TiO_2 تجاری توانایی جذب هتروپلی اسید را ندارد و در میان پودرهای ZrO_2 مختلف، نمونه‌ی تهیه شده به روش سل-ژل توانایی بیشتری برای جذب هتروپلی اسید دارد. از طرفی، داده‌های UV-Vis نشان داد هتروپلی اسید $H_5SiMo_2VW_9O_{40}$ از کاتالیزگر تهیه شده به روش تلقیح مرطوب واجذب می‌شود، اما در مورد کاتالیزگر تهیه شده به روش تلقیح مرطوب وجود نداشت. در این راستا ZrO_2 سل-ژل بعد از تلقیح مرطوب با $H_5SiMo_2VW_9O_{40}$ برای واکنش کاتالیزی استری شدن n -بوتanol، s -بوتanol و t -بوتanol با اسید استیک گلاسیال استفاده شد. بازده واکنش‌های آلی به وسیله‌ی آنالیز GC بررسی شد. در همه موارد، گزینش‌پذیری استرهای مربوطه ۱۰۰٪ بود. شرایط بهینه برای واکنش n -بوتanol با اسید استیک گلاسیال بررسی شد و مشخص گردید دمای ۸۰°C، مقدار کاتالیزگر ۰/۲۵ گرم و نسبت مولی اسید به الکل ۲ بهترین نتایج را بدست می‌دهد. سایر واکنش‌ها در این شرایط بهینه انجام شدند. آنالیز GC نشان داد بازده واکنش استری شدن با الکل‌های مختلف بعد از ۲۴ ساعت به ترتیب زیر است: n -بوتanol(٪/٪) < s -بوتanol(٪/٪) < t -بوتanol(٪/٪). از طرف دیگر خط راست حاصل از رسم $Ln(1\text{-conversion})$ -نسبت به زمان واکنش برای نسبت‌های مختلف n -بوتanol به اسید استیک در دمای ۸۰°C، نشان داد سینتیک واکنش در این فرآیند کاتالیزی، درجه اول است. بررسی قابلیت بازیابی، نشان داد که کاتالیزگر حداقل بعد از دو سیکل پایدار است.

کلمات کلیدی: هتروپلی اسید، بسترهای اکسید فلزی، سل-ژل، هیدروترمال، جذب سطحی، تلقیح مرطوب، کاتالیست ناهمگن، واکنش استری شدن، مکانیسم ایلی-رایدل

مقالات مستخرج از پایان نامه

Preparation and characterization of catalytic beds supported with hetero-poly acids and their application in catalytic reactions

(دوازدهمین سمینار شیمی معدنی ایران، دانشگاه گیلان، شهریور ۱۳۸۹)

Preparation and characterization of ZrO_2 supported $H_5SiMo_2VW_9O_{40}$ and its application in catalytic esterification reactions

(چهاردهمین سمینار شیمی فیزیک ایران، دانشگاه تهران، کیش، اسفند ۱۳۸۹)

فهرست مطالب

	عنوان
صفحه	
فصل اول: مقدمه و تئوری	
۱	۱-۱- پلی اکسومتال‌ها
۲	۱-۱-۱- ایزوپلی آنیون $[M_mO_y]^{P^-}$: فلزات واسطه
۳	۱-۱-۲- هتروپلی آنیون $[X_xM_mO_y]^{9^-}$ ($x \leq m$): فلزات واسطه X : هتروatom
۴	۱-۲- تاریخچه‌ی پلی اکسومتال‌ها
۵	۱-۳- ساختار ترکیبات هتروپلی در حالت جامد
۵	۱-۳-۱- ساختار نوع اول
۶	۱-۱-۳-۱- ساختار کگین
۷	۱-۲-۱-۳-۱- ساختار ولز-داوسن
۷	۱-۳-۱-۳-۱- ساختار آندرسون-اونس
۸	۱-۴-۱-۳-۱- ساختار پرایسلر
۹	۱-۵-۱-۳-۱- ساختار دکستر-سیلورتون
۹	۱-۲-۳-۱- ساختار نوع دوم
۹	۱-۳-۳-۱- ساختار نوع سوم
۱۱	۱-۴- پیوند در هتروپلی آنیون‌ها
۱۲	۱-۵- واپیچش هشت وجهی‌های اتم‌های الحاقی
۱۲	۱-۶- هتروپلی اسیدها
۱۳	۱-۱-۶-۱- قدرت اسیدی
۱۴	۱-۲-۶-۱- حلالیت
۱۵	۱-۳-۶-۱- پایداری گرمایی
۱۶	۱-۴-۶-۱- کاربردها
۱۶	۱-۴-۶-۱- تجزیه‌ای
۱۷	۱-۲-۴-۶-۱- زیست شناختی
۱۷	۱-۳-۴-۶-۱- کاتالیزی
۱۸	۱-۷- هتروپلی اسید نشانده شده روی بستر
۱۹	۱-۸-۱- انواع بسترها
۱۹	۱-۸-۱- بستر SiO_2
۱۹	۱-۸-۱- بستر مزوپور MCM-41
۲۰	۱-۳-۸-۱- بستر کربن
۲۰	۱-۴-۸-۱- بستر TiO_2
۲۱	۱-۵-۸-۱- بستر ZrO_2
۲۱	۱-۶-۸-۱- بستر Al_2O_3
۲۲	۱-۹- روش‌های تهیه بستر
۲۲	۱-۹-۱- فرآیند سل-ژل
۲۳	۱-۹-۱- فرآیند هیدروترمال
۲۳	۱-۱۰- فرآیند کاتالیزی اسیدی با هتروپلی اسیدها

۱۱-۱	- انواع واکنش‌های کاتالیزی ناهمگن	۲۴
۱۱-۱-۱	- فرآیند کاتالیزی در سطح	۲۵
۱۱-۱-۲	- فرآیند کاتالیزی با توده‌ی کاتالیزگر (I)	۲۵
۱۱-۱-۳	- فرآیند کاتالیزی با توده‌ی کاتالیزگر (II)	۲۵
۱۲-۱	- واکنش استری شدن	۲۶
۱۳-۱	- کاربردهای استرها	۲۸
۱۴-۱	- هدف	۲۹

فصل دوم: بخش تجربی

۱-۱	- مواد و معرفه‌ای مورد استفاده	۳۱
۱-۲	- دستگاه‌های مورد استفاده	۳۳
۱-۲-۱	- طیف سنج فرابیش-مرئی (UV-Vis)	۳۳
۱-۲-۲	- طیفسنج مادون قرمز (IR)	۳۳
۱-۲-۳	- دستگاه کروماتوگراف گازی (GC)	۳۳
۱-۲-۴	- دستگاه SEM	۳۳
۱-۲-۵	- دستگاه XRD	۳۴
۱-۳	- تهیه ترکیبات	۳۴
۱-۳-۱	- تهیه هتروپلی اسید $\alpha\text{-H}_4[\text{SiW}_{12}\text{O}_{40}]$	۳۴
۱-۳-۲	- تهیه هتروپلی اسید $\text{H}_5[\alpha\text{-SiMo}_2\text{VWO}_{40}]$	۳۵
۱-۳-۳	- تهیه ترکیب $\alpha\text{-Na}_{15}\text{SiW}_9\text{O}_{34}\cdot18\text{H}_2\text{O}$	۳۵
۱-۳-۴	- تهیه ترکیب $\text{K}_8[\alpha\text{-SiMo}_2\text{W}_9\text{O}_{39}]\cdot20\text{H}_2\text{O}$	۳۵
۱-۳-۵	- تهیه ترکیب $\text{K}_5[\alpha\text{-SiMo}_2\text{VW}_9\text{O}_{40}]\cdot10\text{H}_2\text{O}$	۳۶
۱-۳-۶	- تهیه هتروپلی اسید $\text{H}_5[\alpha\text{-SiMo}_2\text{VW}_9\text{O}_{40}]$	۳۶
۱-۳-۷	- تهیه ZrO_2 به روش سل-ژل	۳۶
۱-۴	- بررسی میزان جذب هتروپلی اسیدها روی بسترها اکسیدهای معدنی	۳۷
۱-۴-۱	- بررسی جذب هتروپلی اسید $\text{H}_3\text{PW}_{12}\text{O}_{40}$ روی بستر ZrO_2 تهیه شده به روش سل-ژل	۳۸
۱-۴-۲	- بررسی جذب هتروپلی اسید $\text{H}_3\text{PW}_{12}\text{O}_{40}$ روی انواع بسترها ZrO_2 تهیه شده به روش هیدروترمال	۳۸
۱-۴-۳	- بررسی جذب هتروپلی اسید $\text{H}_4\text{SiW}_{12}\text{O}_{40}$ روی بستر ZrO_2 تهیه شده به روش سل-ژل	۳۹
۱-۴-۴	- بررسی جذب هتروپلی اسید $\text{H}_5\text{SiMo}_2\text{VW}_9\text{O}_{40}$ روی بستر ZrO_2 تهیه شده به روش سل-ژل	۳۹
۱-۴-۵	- بررسی جذب هتروپلی اسیدهای $\text{H}_4\text{SiW}_{12}\text{O}_{40}$, $\text{H}_3\text{PW}_{12}\text{O}_{40}$ و $\text{H}_5\text{SiMo}_2\text{VW}_9\text{O}_{40}$ روی بستر TiO_2	۴۰
۱-۵	- تجاری	۴۰
۱-۵-۱	- نشاندن هتروپلی اسید $\text{H}_5\text{SiMo}_2\text{VW}_9\text{O}_{40}$ روی بستر ZrO_2 سل-ژل به روش تلقيق و بررسی امکان واجذب کاتالیزگر	۴۰
۱-۵-۲	- تهیه کاتالیزگر هتروژن $\text{H}_5\text{SiMo}_2\text{VW}_9\text{O}_{40}$ نشانده شده روی بستر ZrO_2 سل-ژل به روش تلقيق	۴۰
۱-۵-۳	- بررسی امکان واجذب هتروپلی اسید از کاتالیزگرهای $\text{H}_5\text{SiMo}_2\text{VW}_9\text{O}_{40}/\text{ZrO}_2$ تهیه شده به روش تلقيق و تکلیس شده در دماهای مختلف	۴۱
۱-۵-۴	- تهیه محلول‌های استاندارد	۴۱
۱-۵-۵	- واکنش استری شدن n -بوتanol با اسید استیک گلاسیال در حضور کاتالیزگر هتروژن $\text{H}_5\text{SiMo}_2\text{VW}_9\text{O}_{40}/\text{ZrO}_2$	۴۲

۴۲	- تهیه کاتالیزگر $H_5SiMo_2VW_9O_{40}/ZrO_2$ و شناسایی آن.....	۷-۲
۴۲	- نشاندن $H_5SiMo_2VW_9O_{40}$ روی بستر ZrO_2 سل-ژل به روش تلقیح مرطوب.....	۱-۷-۲
۴۳	- شناسایی کاتالیزگر $H_5SiMo_2VW_9O_{40}/ZrO_2$	۲-۷-۲
۴۳	- بررسی واکنش‌های استری شدن الکل‌ها با اسید استیک گلاسیال در حضور کاتالیزگر.....	۸-۲
۴۳	- واکنش استری شدن $n\text{-BuOH}$ در حضور کاتالیزگر هموزن $H_5SiMo_2VW_9O_{40}$	۱-۸-۲
۴۴	- واکنش استری شدن $n\text{-BuOH}$ بدون حضور کاتالیزگر.....	۲-۸-۲
۴۴	- واکنش استری شدن $n\text{-BuOH}$ در حضور بستر ZrO_2 به عنوان کاتالیزگر.....	۳-۸-۲
۴۵	- واکنش استری شدن $n\text{-BuOH}$ در حضور کاتالیزگر هتروژن $H_5SiMo_2VW_9O_{40}/ZrO_2$	۴-۸-۲
۴۵	- بررسی اثر دما.....	۱-۴-۸-۲
۴۶	- بررسی اثر نسبت واکنش دهنده‌ها.....	۲-۴-۸-۲
۴۷	- بررسی اثر مقدار کاتالیزگر.....	۳-۴-۸-۲
۴۷	- واکنش استری شدن الکل‌های نوع دوم و سوم در حضور کاتالیزگر $H_5SiMo_2VW_9O_{40}/ZrO_2$	۵-۸-۲
۴۸	- بررسی واجذب کاتالیزگر $H_5SiMo_2VW_9O_{40}$ از سطح بستر ZrO_2 در طی واکنش استری شدن $n\text{-BuOH}$	۶-۸-۲
۴۹	- بررسی امکان بازیابی کاتالیزگر $H_5SiMo_2VW_9O_{40}/ZrO_2$ در واکنش استری شدن $n\text{-BuOH}$	۷-۸-۲

فصل سوم: بحث و نتیجه‌گیری

بخش اول: بررسی جذب انواع هتروپلی اسیدهای کگین روی بسترهای ZrO_2 و TiO_2

۵۲	- بررسی جذب هتروپلی اسید $H_3PW_{12}O_{40}$ روی انواع بسترهای ZrO_2	۱-۳
۵۲	- بررسی نتایج طیف UV-Vis.....	۱-۱-۳
۶۲	- بررسی نتایج طیف IR.....	۲-۱-۳
۶۴	- بررسی جذب هتروپلی اسید $H_3PW_{12}O_{40}$ روی بستر تیتانیای تجاری.....	۲-۳
۶۴	- بررسی نتایج طیف UV-Vis.....	۱-۲-۳
۶۴	- بررسی نتایج طیف IR.....	۲-۲-۳
۶۷	- بررسی جذب هتروپلی اسید $H_4SiW_{12}O_{40}$ روی بستر زیرکونیای سل-ژل.....	۳-۳
۶۷	- بررسی نتایج طیف UV-Vis.....	۱-۳-۳
۶۹	- بررسی نتایج طیف IR.....	۲-۳-۳
۷۲	- بررسی جذب هتروپلی اسید $H_4SiW_{12}O_{40}$ روی بستر تیتانیای تجاری.....	۴-۳
۷۲	- بررسی نتایج طیف UV-Vis.....	۱-۴-۳
۷۲	- بررسی نتایج طیف IR.....	۲-۴-۳
۷۵	- بررسی جذب هتروپلی اسید $H_5SiMo_2VW_9O_{40}$ روی بستر ZrO_2 سل-ژل.....	۵-۳
۷۵	- بررسی نتایج طیف UV-Vis.....	۱-۵-۳
۷۸	- بررسی نتایج طیف IR.....	۲-۵-۳
۸۱	- بررسی جذب هتروپلی اسید $H_5SiMo_2VW_9O_{40}$ روی بستر تیتانیای تجاری.....	۶-۳
۸۱	- بررسی نتایج طیف UV-Vis.....	۱-۶-۳
۸۱	- بررسی نتایج طیف IR.....	۲-۶-۳
۸۴	- نتیجه‌گیری.....	۷-۳

بخش دوم: بررسی اثر کاتالیزی کاتالیزگر هتروژن $H_5SiMo_2VW_9O_{40}/ZrO_2$ در واکنش‌های استری

شندن

۸-۳- نشاندن هتروپلی اسید H ₅ SiMo ₂ VW ₉ O ₄₀ روی بستر ZrO ₂ سل- ژل به روش تلقیح و بررسی امکان واجذب کاتالیزگر از سطح بستر.....	۸۶
۸۶..... ۱-۸-۳- تهیه کاتالیزگر هتروژن H ₅ SiMo ₂ VW ₉ O ₄₀ /ZrO ₂ به روش تلقیح.....	۸۶
۸۶..... ۲-۸-۳- بررسی امکان واجذب کاتالیزگر H ₅ SiMo ₂ VW ₉ O ₄₀ از سطح بستر ZrO ₂ سل- ژل در نمونه‌های تهیه شده به روش تلقیح و تکلیس شده در دماهای مختلف.....	۸۸
۸۸..... ۳-۹- بررسی واکنش استری شدن n-بوتanol با اسید استیک گلاسیال در حضور کاتالیزگر هتروژن H ₅ SiMo ₂ VW ₉ O ₄₀ /ZrO ₂ تهیه شده به روش تلقیح.....	۸۹
۸۹..... ۱۰-۳- تهیه و شناسایی کاتالیزگر هتروژن H ₅ SiMo ₂ VW ₉ O ₄₀ /ZrO ₂ به روش تلقیح مرطوب.....	۸۹
۸۹..... ۱۱-۳- بررسی واکنش‌های استری شدن الكل‌ها با اسید استیک گلاسیال در حضور کاتالیزگر.....	۹۳
۹۳..... ۱-۱۱-۳- بررسی استری شدن n-بوتanol در حضور کاتالیزگرهای گوناگون.....	۹۵
۹۵..... ۲-۱۱-۳- بررسی شرایط بهینه.....	۹۵
۹۵..... ۱-۲-۱۱-۳- بررسی اثر دما.....	۹۷
۹۷..... ۲-۲-۱۱-۳- بررسی اثر نسبت واکنش‌دهنده‌ها.....	۹۸
۹۸..... ۳-۲-۱۱-۳- بررسی اثر مقدار کاتالیزگر.....	۹۹
۹۹..... ۳-۱۱-۳- بررسی استری شدن الكل‌های نوع دوم و سوم در حضور کاتالیزگر هتروژن H ₅ SiMo ₂ VW ₉ O ₄₀ /ZrO ₂ در شرایط بهینه	۱۰۲
۱۰۲..... ۴-۱۱-۳- بررسی واجذب کاتالیزگر H ₅ SiMo ₂ VW ₉ O ₄₀ از سطح بستر ZrO ₂ سل- ژل در طی واکنش استری شدن n-بوتanol با اسید استیک گلاسیال.....	۱۰۲
۱۰۲..... ۵-۱۱-۳- بررسی امکان بازیافت کاتالیزگر H ₅ SiMo ₂ VW ₉ O ₄₀ /ZrO ₂ در واکنش استری شدن n-بوتanol با اسید استیک گلاسیال	۱۰۳
۱۰۳..... ۱۲-۳- بررسی سینتیک استری شدن n-بوتanol با اسید استیک گلاسیال در حضور کاتالیزگر H ₅ SiMo ₂ VW ₉ O ₄₀ /ZrO ₂	۱۰۳
۱۰۳..... ۱۳-۳- نتیجه گیری.....	۱۰۵
۱۰۵..... ۱۴-۳- آینده‌نگری.....	۱۰۶
۱۰۶..... پیوست.....	۱۰۹
۱۰۹..... منابع.....	۱۱۹

فهرست اشکال

صفحه	شکل
	فصل اول: مقدمه
۲	شکل ۱-۱- ایزوپلی آنیون‌ها ۱-۱- ایزوپلی آنیون‌ها
۶	شکل ۲-۱- ساختار کگین ۲-۱- ساختار کگین
۷	شکل ۳-۱- ساختار ولز-داوسن ۳-۱- ساختار ولز-داوسن
۸	شکل ۴-۱- ساختار آندرسون-آونس ۴-۱- ساختار آندرسون-آونس
۸	شکل ۵-۱- ساختار آنیون پرایسلر ۵-۱- ساختار آنیون پرایسلر
۱۰	شکل ۶-۱- ساختارهای نوع اول، دوم و سوم ۶-۱- ساختارهای نوع اول، دوم و سوم
۱۱	شکل ۷-۱- موضع اتم‌های اکسیژن در ساختار هتروپلی ۷-۱- موضع اتم‌های اکسیژن در ساختار هتروپلی
۱۳	شکل ۸-۱- موقعیت پروتون‌ها در هتروپلی اسید جامد آبزدایی شده (الف) و آبدار(ب) ۸-۱- موقعیت پروتون‌ها در هتروپلی اسید جامد آبزدایی شده (الف) و آبدار(ب)
۲۲	شکل ۹-۱- مسیرهای تشکیل آلومینا ۹-۱- مسیرهای تشکیل آلومینا
	فصل سوم: بحث و نتیجه‌گیری
	بخش اول: بررسی جذب انواع هتروپلی اسیدهای کگین روی بسترهای ZrO_2 و TiO_2
۵۳	شکل ۱-۳- طیف UV-Vis محلول $H_3PW_{12}O_{40}$ قبل و پس از تماس با ZrO_2 Sol-gel در زمان‌های مختلف ۱-۳- طیف UV-Vis محلول $H_3PW_{12}O_{40}$ قبل و پس از تماس با ZrO_2 Sol-gel در زمان‌های مختلف
۵۴	شکل ۲-۳- طیف UV-Vis محلول $H_3PW_{12}O_{40}$ قبل و پس از تماس با بستر $ZrO_2(A_1)$ در زمان‌های مختلف ۲-۳- طیف UV-Vis محلول $H_3PW_{12}O_{40}$ قبل و پس از تماس با بستر $ZrO_2(A_1)$ در زمان‌های مختلف
۵۵	شکل ۳-۳- طیف UV-Vis محلول $H_3PW_{12}O_{40}$ قبل و پس از تماس با بستر $ZrO_2(A_2)$ در زمان‌های مختلف ۳-۳- طیف UV-Vis محلول $H_3PW_{12}O_{40}$ قبل و پس از تماس با بستر $ZrO_2(A_2)$ در زمان‌های مختلف
۵۶	شکل ۴-۳- طیف UV-Vis محلول $H_3PW_{12}O_{40}$ قبل و پس از تماس با بستر $ZrO_2(B_1)$ در زمان‌های مختلف ۴-۳- طیف UV-Vis محلول $H_3PW_{12}O_{40}$ قبل و پس از تماس با بستر $ZrO_2(B_1)$ در زمان‌های مختلف
۵۷	شکل ۵-۳- طیف UV-Vis محلول $H_3PW_{12}O_{40}$ قبل و پس از تماس با بستر $ZrO_2(B_2)$ در زمان‌های مختلف ۵-۳- طیف UV-Vis محلول $H_3PW_{12}O_{40}$ قبل و پس از تماس با بستر $ZrO_2(B_2)$ در زمان‌های مختلف
۵۸	شکل ۶-۳- طیف UV-Vis محلول $H_3PW_{12}O_{40}$ قبل و پس از تماس با بستر $ZrO_2(C_2)$ در زمان‌های مختلف ۶-۳- طیف UV-Vis محلول $H_3PW_{12}O_{40}$ قبل و پس از تماس با بستر $ZrO_2(C_2)$ در زمان‌های مختلف
۵۹	شکل ۷-۳- طیف UV-Vis محلول $H_3PW_{12}O_{40}$ قبل و پس از تماس با بستر $ZrO_2(D_2)$ در زمان‌های مختلف ۷-۳- طیف UV-Vis محلول $H_3PW_{12}O_{40}$ قبل و پس از تماس با بستر $ZrO_2(D_2)$ در زمان‌های مختلف
۶۰	شکل ۸-۳- درصد جذب هتروپلی HPW بر روی انواع بسترهای ZrO_2 (۱) سل-ژل (۲) A_1 (۳) B_1 (۴) A_2 (۵) D_2 (۶) C_2 (۷) B_2 ۸-۳- درصد جذب هتروپلی HPW بر روی انواع بسترهای ZrO_2 (۱) سل-ژل (۲) A_1 (۳) B_1 (۴) A_2 (۵) D_2 (۶) C_2 (۷) B_2
۶۳	شکل ۹-۳- طیف IR (a) هتروپلی اسید $H_3PW_{12}O_{40}$ (b) سل-ژل ZrO_2 پس از جذب HPW و (c) سل-ژل ۹-۳- طیف IR (a) هتروپلی اسید $H_3PW_{12}O_{40}$ (b) سل-ژل ZrO_2 پس از جذب HPW و (c) سل-ژل
۶۵	شکل ۱۰-۳- طیف UV-Vis محلول $H_3PW_{12}O_{40}$ قبل و پس از تماس با بستر تیتانیای تجارتی در زمان‌های مختلف ۱۰-۳- طیف UV-Vis محلول $H_3PW_{12}O_{40}$ قبل و پس از تماس با بستر تیتانیای تجارتی در زمان‌های مختلف
۶۶	شکل ۱۱-۳- طیف IR (a) هتروپلی اسید $H_3PW_{12}O_{40}$ (b) تجاری پس از تماس با HPW و (c) تجاری ۱۱-۳- طیف IR (a) هتروپلی اسید $H_3PW_{12}O_{40}$ (b) تجاری پس از تماس با HPW و (c) تجاری
۶۸	شکل ۱۲-۳- طیف UV-Vis محلول $H_4SiW_{12}O_{40}$ قبل و پس از تماس با بستر ZrO_2 سل-ژل در زمان‌های مختلف ۱۲-۳- طیف UV-Vis محلول $H_4SiW_{12}O_{40}$ قبل و پس از تماس با بستر ZrO_2 سل-ژل در زمان‌های مختلف
۷۱	شکل ۱۳-۳- طیف IR (a) هتروپلی اسید $H_4SiW_{12}O_{40}$ (b) سل-ژل ZrO_2 پس از جذب HPW و (c) سل-ژل ۱۳-۳- طیف IR (a) هتروپلی اسید $H_4SiW_{12}O_{40}$ (b) سل-ژل ZrO_2 پس از جذب HPW و (c) سل-ژل
۷۳	شکل ۱۴-۳- طیف UV-Vis محلول $H_4SiW_{12}O_{40}$ قبل و پس از تماس با تیتانیای تجارتی در زمان‌های مختلف ۱۴-۳- طیف UV-Vis محلول $H_4SiW_{12}O_{40}$ قبل و پس از تماس با تیتانیای تجارتی در زمان‌های مختلف
۷۴	شکل ۱۵-۳- طیف IR (a) هتروپلی اسید $H_4SiW_{12}O_{40}$ (b) تیتانیای تجارتی پس از تماس با $HSiW$ و (c) تیتانیای تجارتی ۱۵-۳- طیف IR (a) هتروپلی اسید $H_4SiW_{12}O_{40}$ (b) تیتانیای تجارتی پس از تماس با $HSiW$ و (c) تیتانیای تجارتی

شکل ۱۶-۳ - طیف UV-Vis محلول $H_5SiMo_2VW_9O_{40}$ قبل و پس از تماس با بستر ZrO_2 سل-ژل در زمان‌های مختلف ۷۶

شکل ۱۷-۳ - طیف IR (a) هتروپلی اسید $H_5SiMo_2VW_9O_{40}$ سل-ژل پس از جذب ZrO_2 (b) ۸۰

شکل ۱۸-۳ - طیف UV-Vis محلول $H_5SiMo_2VW_9O_{40}$ قبل و پس از تماس با بستر تیتانیای تجاری در زمان‌های مختلف ۸۲

شکل ۱۹-۳ - طیف IR (a) هتروپلی اسید $H_5SiMo_2VW_9O_{40}$ ، (b) تیتانیای تجاری پس از تماس با $H_5SiMo_2VW_9O_{40}$ و (c) تیتانیای تجاری ۸۳

بخش دوم: بررسی اثر کاتالیزگر هتروژن $H_5SiMo_2VW_9O_{40}/ZrO_2$ در واکنش‌های استری شدن

شکل ۲۰-۳ - طیف‌های IR نمونه $H_5SiMo_2VW_9O_{40}/ZrO_2$ تکلیس شده در دماهای (a) $100^\circ C$ (b) $200^\circ C$ (c) $300^\circ C$ (d) $400^\circ C$ ۸۷

شکل ۲۱-۳ - نمودار آنالیز حرارتی نمونه $H_5SiMo_2VW_9O_{40}/ZrO_2$ ۹۲

شکل ۲۲-۳ - نمودار پیشرفت واکنش استری شدن n -بوتانول با اسید استیک گلاسیال نسبت به زمان (a) در غیاب کاتالیزگر (b) در حضور کاتالیزگر هتروژن ۹۴

شکل ۲۳-۳ - نمودار پیشرفت واکنش استری شدن n -بوتانول با اسید استیک گلاسیال نسبت به زمان (a) در غیاب کاتالیزور (b) در حضور کاتالیزگر هتروژن (c) در حضور کاتالیزگر هموژن ۹۴

شکل ۲۴-۳ - نمودار پیشرفت واکنش استری شدن n -بوتانول با اسید استیک گلاسیال در حضور کاتالیزگر $H_5SiMo_2VW_9O_{40}/ZrO_2$ نسبت به زمان در دماهای مختلف (a) $60^\circ C$ (b) $80^\circ C$ (c) $100^\circ C$ ۹۶

شکل ۲۵-۳ - نمودار پیشرفت واکنش استری شدن n -بوتانول با اسید استیک گلاسیال در حضور کاتالیزگر $H_5SiMo_2VW_9O_{40}/ZrO_2$ نسبت به زمان در نسبت‌های مختلف الكل به اسید (a) ۱:۱ (b) ۲:۱ (c) ۱:۲ ۹۸

شکل ۲۶-۳ - نمودار پیشرفت واکنش استری شدن n -بوتانول با اسید استیک گلاسیال در حضور کاتالیزگر $H_5SiMo_2VW_9O_{40}/ZrO_2$ نسبت به زمان در مقدارهای مختلف کاتالیزور (a) ۰.۵ g (b) ۰.۲۵ g (c) ۰.۱۲۵ g ۹۹

شکل ۲۷-۳ - نمودار پیشرفت واکنش استری شدن s -بوتانول با اسید استیک گلاسیال در حضور کاتالیزگر $H_5SiMo_2VW_9O_{40}/ZrO_2$ نسبت به زمان در شرایط بهینه ۱۰۰

شکل ۲۸-۳ - نمودار پیشرفت واکنش استری شدن t -بوتانول با اسید استیک گلاسیال در حضور کاتالیزگر $H_5SiMo_2VW_9O_{40}/ZrO_2$ نسبت به زمان در شرایط بهینه ۱۰۰

شکل ۲۹-۳ - نمودار پیشرفت واکنش استری شدن الكل‌های مختلف با اسید استیک گلاسیال در حضور کاتالیزگر $H_5SiMo_2VW_9O_{40}/ZrO_2$ نسبت به زمان در شرایط بهینه ۱۰۱

شکل ۳۰-۳ - نمودار (1- conversion) -Ln- نسبت به زمان واکنش برای واکنش استری شدن n -بوتانول با اسید استیک گلاسیال، نسبت الكل به اسید ۱:۲ ۱۰۴

شکل ۳۱-۳ - نمودار (1- conversion) -Ln- نسبت به زمان واکنش برای واکنش استری شدن n -بوتانول با اسید استیک گلاسیال، نسبت الكل به اسید ۱:۲ ۱۰۴

شکل ۳۲-۳ - نمودار (1- conversion) -Ln- نسبت به زمان واکنش برای واکنش استری شدن n -بوتانول با اسید ۱:۱

فهرست جداول

صفحه

جدول

فصل اول: مقدمه

جدول ۱-۱- مقایسه ثابت تفکیک هتروپلی اسیدها با اسیدهای معدنی در استون در دمای ۲۵ درجه سانتیگراد.....۱۴

فصل دوم: بخش تجربی

جدول ۲-۱- مشخصات انواع ZrO_2 سنتز شده به روش هیدروترمال	۳۲
جدول ۲-۲- مشخصات دستگاه کروماتوگراف گازی	۳۳
جدول ۲-۳- مقادیر درصد جذب هتروپلی اسید HPW روی بستر ZrO_2 سل- ژل در طی زمان‌های مختلف	۳۸
جدول ۲-۴- مقادیر درصد جذب هتروپلی اسید HPW روی انواع بسترها ZrO_2 تهیه شده به روش هیدروترمال در طی زمان‌های مختلف	۳۸
جدول ۲-۵- مقادیر درصد جذب هتروپلی اسید HSiW روی بستر ZrO_2 سل- ژل در طی زمان‌های مختلف	۳۹
جدول ۲-۶- مقادیر درصد جذب هتروپلی اسید $H_5SiMo_2VW_9O_{40}$ روی بستر ZrO_2 سل- ژل در طی زمان‌های مختلف	۳۹
جدول ۲-۷- میزان جذب و درصد واجذب هتروپلی اسید از سطح بستر کاتالیزگر $H_5SiMo_2VW_9O_{40}/ZrO_2$ برای نمونه‌های تکلیس شده در دماهای ۲۰۰°C و ۱۰۰	۴۱
جدول ۲-۸- بازده واکنش استری شدن n-بوتانول با اسید استیک گلاسیال در حضور کاتالیزگر هتروژن $H_5SiMo_2VW_9O_{40}/ZrO_2$ تهیه شده به روش تلقیح پس از ۶ ساعت.	۴۲
جدول ۲-۹- بازده واکنش استری شدن n-بوتانول با اسید استیک گلاسیال در حضور کاتالیزگر $H_5SiMo_2VW_9O_{40}$ به صورت هموژن در بازه‌های زمانی مختلف.	۴۳
جدول ۲-۱۰- بازده واکنش استری شدن n-بوتانول با اسید استیک گلاسیال بدون حضور کاتالیزگر در بازه‌های زمانی مختلف	۴۴
جدول ۲-۱۱- بازده واکنش استری شدن n-بوتانول با اسید استیک گلاسیال در حضور کاتالیزگر ZrO_2 در بازه‌های زمانی مختلف	۴۴
جدول ۲-۱۲- بازده واکنش استری شدن n-بوتانول با اسید استیک گلاسیال در حضور کاتالیزگر $H_5SiMo_2VW_9O_{40}/ZrO_2$ به صورت هتروژن در بازه‌های زمانی مختلف	۴۵
جدول ۲-۱۳- بازده واکنش استری شدن n-بوتانول با اسید استیک گلاسیال در حضور کاتالیزگر $H_5SiMo_2VW_9O_{40}/ZrO_2$ در دماهای مختلف در بازه‌های زمانی مختلف.	۴۶
جدول ۲-۱۴- بازده واکنش استری شدن n-بوتانول با اسید استیک گلاسیال در حضور کاتالیزگر $H_5SiMo_2VW_9O_{40}/ZrO_2$ با نسبت‌های مختلف واکنش‌دهنده‌ها در بازه‌های زمانی مختلف.	۴۶
جدول ۲-۱۵- بازده واکنش استری شدن n-بوتانول با اسید استیک گلاسیال در حضور مقادیر مختلف کاتالیزگر $H_5SiMo_2VW_9O_{40}/ZrO_2$ در بازه‌های زمانی مختلف.	۴۷
جدول ۲-۱۶- بازده واکنش استری شدن s-بوتانول و t-بوتانول با اسید استیک گلاسیال در حضور کاتالیزگر $H_5SiMo_2VW_9O_{40}/ZrO_2$ در بازه‌های زمانی مختلف.	۴۸
جدول ۲-۱۷- نتایج حاصل از بررسی امکان بازیابی کاتالیزگر $H_5SiMo_2VW_9O_{40}/ZrO_2$ در واکنش استری شدن n-بوتانول	۴۹

فصل سوم: بحث و نتیجه‌گیری

بخش اول: بررسی جذب انواع هتروپلی اسیدهای کگین روی بسترهای ZrO_2 و TiO_2

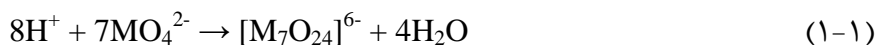
جدول ۱-۳-۱	- درصد جذب و درصد loading هتروپلی اسید HPW روی بسترهای مختلف زیرکونیا	۶۰
جدول ۱-۳-۲	- اطلاعات مربوط به ارتعاشات IR هتروپلی اسید $H_3PW_{12}O_{40}$	۶۲
جدول ۱-۳-۳	- درصد جذب و درصد loading هتروپلی اسید $HSiW$ روی بستر ZrO_2 سل-ژل بعد از ۲۴ ساعت	۶۷
جدول ۱-۳-۴	- اطلاعات مربوط به ارتعاشات IR هتروپلی اسید $H_4SiW_{12}O_{40}$	۶۹
جدول ۱-۳-۵	- درصد جذب و درصد loading هتروپلی اسید $H_5SiMo_2VW_9O_{40}$ روی بستر ZrO_2 سل-ژل در چند زمان مختلف	۷۷
جدول ۱-۳-۶	- اطلاعات مربوط به ارتعاشات IR هتروپلی اسید $H_5SiMo_2VW_9O_{40}$	۷۸

فصل اول

مقدمه و تئوري

۱-۱- پلی اکسومتال‌ها

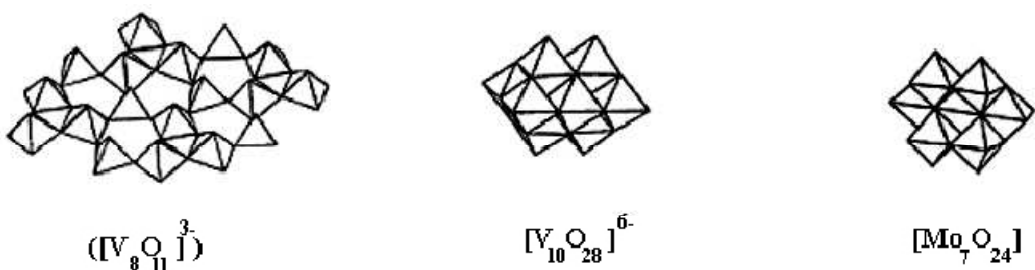
پلی اکسومتال‌ها به بزرگترین دسته کلاسترهاي آنيوني فلز-اکسيژن تعلق دارند [۱-۳]. تشکيل پلی اکسومتال‌ها به وسیله فرایند خود تجمعی در محلول آبی اسیدی (معادله‌های ۱-۱ و ۲-۲) به خوبی شناخته شده است و می‌تواند به صورت یک جامد از کاتیون‌های خاص خود مانند H^+ , NH_4^+ , یون فلزات قلیایی و غیره جدا شود.



به طور کلی دو نوع پلی اکسومتال وجود دارد [۱,۲] که در زیر به آن اشاره می‌شود.

۱-۱-۱- ایزوپلی آنیون $[\text{M}_m\text{O}_y]^p$ (فلزات واسطه)

ایزوپلی آنیون‌ها از کاتیون‌های فلزات واسطه در بالاترین حالت اکسایش آن و یون‌های اکسید تشکيل شده‌اند که مطابق معادله (۱-۱) با اسیدی کردن محلول اکسی آنیون‌هایی نظیر WO_4^{2-} , VO_4^{3-} و MoO_4^{2-} به وجود می‌آیند. این گونه‌ها محدوده‌ی وسیعی از آنیون‌های کوچک نظیر $[\text{Mo}_{176}\text{O}_{528}\text{H}_{16}(\text{H}_2\text{O})_{80}]^{16-}$, $[\text{V}_2\text{O}_7]^{4-}$, $[\text{Mo}_7\text{O}_{24}]^{6-}$ تا آنیون‌های غول پیکر نظیر $[\text{V}_8\text{O}_{11}]^{3-}$ که به کلاسترهاي «چرخ غول پیکر»^۱ معروف هستند را دربر می‌گیرد. شکل (۱-۱) تعدادی از ایزوپلی آنیون‌ها را نشان می‌دهد.



شکل (۱-۱): ایزوپلی آنیون‌ها [۲]

^۱- 'Giant Wheel' Clusters

۱-۲-۲- هتروپلی آنیون (M: فلزات واسطه X: هترواتم)

هتروپلی آنیون‌ها دارای اتم اکسیژن، در مواردی دارای اتم هیدروژن و اتم‌هایی از حداقل دو عنصر دیگر در حالت‌های اکسایش مثبت هستند [۶,۷]. معمولاً در کمپلکس‌های هتروپلی یک نوع اتم در حالت اکسایش مثبت تحت عنوان اتم‌های الحاقی سهم بیشتر و اتم یا اتم‌های دیگری در حالت اکسایش مثبت تحت عنوان هتروواتم‌ها، سهم کمتری در کمپلکس دارند. بیشتر اتم‌های الحاقی Mo و W هستند و گاهی اوقات V و Nb یا مخلوطی از این عناصر با بالاترین حالت اکسایش (d^0, d^1) به عنوان اتم‌های الحاقی در هتروپلی آنیون‌ها عمل می‌کنند. تقریباً تمام عناصر جدول تناوبی می‌توانند به آنیون هتروپلی متصل شوند مانند P^V , Ge^{IV} , Si^{IV} , As^V , B^{III} و غیره.

W(VI) و Mo(VI) می‌توانند بهترین پلی‌اکسومتال را تشکیل دهند؛ چون از نظر شعاع آنیون و بار و همچنین در دسترس داشتن اربیتال خالی برای تشکیل پیوند π فلز اکسیژن مطلوب هستند [۳].

۲-۱- تاریخچه پلی‌اکسومتال‌ها

اولین گزارش پلی‌اکسومتال‌ها مربوط به ۱۸۲۶-مولیبدوفسفات آمونیوم است که در سال ۱۸۲۶ میلادی توسط برزلیوس^۱ ارائه شد [۸]. بعدها در سال ۱۸۴۸ اسوانبرگ^۲ و استراو^۳ این ترکیب را در شیمی تجزیه به عنوان پایه‌ای برای تعیین فسفر که در آن زمان استفاده زیادی داشته، معرفی کردند. تا سال ۱۹۰۸ تقریباً ۷۵۰ ترکیب هتروپلی گزارش شده بود و توسط ۲۵۰ نفر مورد تجزیه قرار گرفت. نتیجه این تلاش‌ها به دست آوردن نسبت ۶ به ۱ یا ۱۲ به ۱ برای اتم مرکزی به هترواتم بود. ورنر^۴ [۹] میولاتی^۵ [۱۰]، رومنهیم^۶ [۱۱] و پائولینگ^۷ [۱۲] براساس چند وجهی‌های مشترک در اکسیژن-

¹ Berzelius

² Svanberg

³ Strave

⁴ Werner

⁵ Miolati

⁶ Rosen hiem

⁷ Pauling

فلز ساختارهایی را پیشنهاد کردند. با استفاده از نظریه پائولینگ مشخص شد Mo^{VI} و W^{VI} شعاع‌های بلوری مناسب برای کوئوردیناسیون هشت وجهی با اتم‌های اکسیژن دارند و ساختار ۱۲:۱ برای این کمپلکس‌ها در نظر گرفته شد. در حالی که پائولینگ تنها اشتراک از طریق گوشه را پیش بینی کرد بود، کگین^۱ در سال ۱۹۳۳ ساختار $\text{H}_3\text{PW}_{12}\text{O}_{40.5}\text{H}_2\text{O}$ را با الگوی پراش پرتو ایکس حل کرد و تأیید کرد که ساختار بر اساس واحدهای WO_6 است و اشتراک از طریق لبه نیز وجود دارد. به وسیله پراش پرتو ایکس تعداد زیادی از ساختارهای هتروپلی شناخته شده است [۱۳]. اوанс^۲ به وسیله تعیین ساختار تک بلور $\text{[TeMoO}_{24}\text{]}^6$ با اشعه X در سال ۱۹۴۸ توانست نوع دیگری از ساختار آنیون هتروپلی را که امروزه آندرسون-اوанс^۳ نامیده می‌شود تعیین کند [۱۴]. داوسن^۴ ساختار آنیون هتروپلی $\text{[P}_2\text{W}_{18}\text{O}_{62}\text{]}^{6-}$ را که با نام ولز-داوسن^۵ معروف است، گزارش کرد [۱۵]. در سال ۱۹۶۸ دکستر و سیلورتون^۶ ساختار آنیون $\text{[CeMo}_{12}\text{O}_{42}\text{]}^{8-}$ را به وسیله پراش اشعه X تعیین کردند و نشان دادند که هترواتم بزرگ Ce در مرکز بیست وجهی CeO_{12} قرار گرفته است [۱۶]. تا سال ۱۹۷۰ میلادی شیمی پلی‌اکسومتال‌ها توسعه بیشتری پیدا کرد. این دوره به تلاش گستردگی تعدادی از گروه‌ها و مخصوصاً سوچای^۷ (فرانسه)، ریپان^۸ (رومانی)، اسپیتیسین^۹ (روسیه) و بیکر^{۱۰} (آمریکا) مربوط می‌شود. تحقیق روی پلی‌اکسومتال‌ها به عنوان کاتالیزگر در این سال شروع شد و موفقیت در کاربرد صنعتی کاتالیزگرهای پلی‌اکسومتال در سال ۱۹۸۰ میلادی با بدعت‌گذاری پژوهش در این زمینه، انقلابی ایجاد کرد و به سرعت پیشرفت کرد. در این سال‌ها چندین فرآیند شیمیایی صنعتی جدید با استفاده از کاتالیزگرهای پلی‌اکسومتال‌ها در ژاپن گسترش یافته و تجاری شدند [۱۷, ۱۸].

¹- Keggin

²- Evans

³- Anderson - Evans

⁴- Dawson

⁵- Wells - Dawson

⁶- Dexter - Silverton

⁷- Souchay

⁸- Ripan

⁹- Spitsyn

¹⁰- Baker

بین سالهای ۱۹۸۰ تا ۱۹۹۰ تعداد گروههای تحقیقاتی که در زمینه شیمی پلی اکسومتال‌ها به فعالیت پرداختند افزایش چشمگیری داشت و تا سال ۱۹۹۵ ساختار تقریباً ۱۸۰ پلی اکسومتال به وسیله پراش اشعه X گزارش شد [۱۹].

کاربرد تکنیک‌های شناسایی مدرن برای درک بیشتر اصول ساختاری پلی اکسومتال‌ها و سایر خصوصیاتشان راهنمای مفیدی است. با وجود اینکه تلاش‌های بسیاری در این زمینه شده است، اما سوال‌های بسیاری مربوط به اصول ساختاری، مکانیسم تهیه و واکنش‌پذیری پلی اکسومتال‌ها هنوز پاسخ داده نشده است.

۱-۳- ساختار ترکیبات هتروپلی در حالت جامد

ساختار هتروپلی در حالت جامد از دیدگاه‌های متفاوتی قابل بررسی است. در هر دیدگاه بر نکته‌ای خاص تاکید می‌گردد و نگاه ویژه‌ای بر ساختار هتروپلی مد نظر قرار می‌گیرد که در ادامه مختصراً شرح داده می‌شوند.

۱-۳-۱- ساختار نوع اول^۱

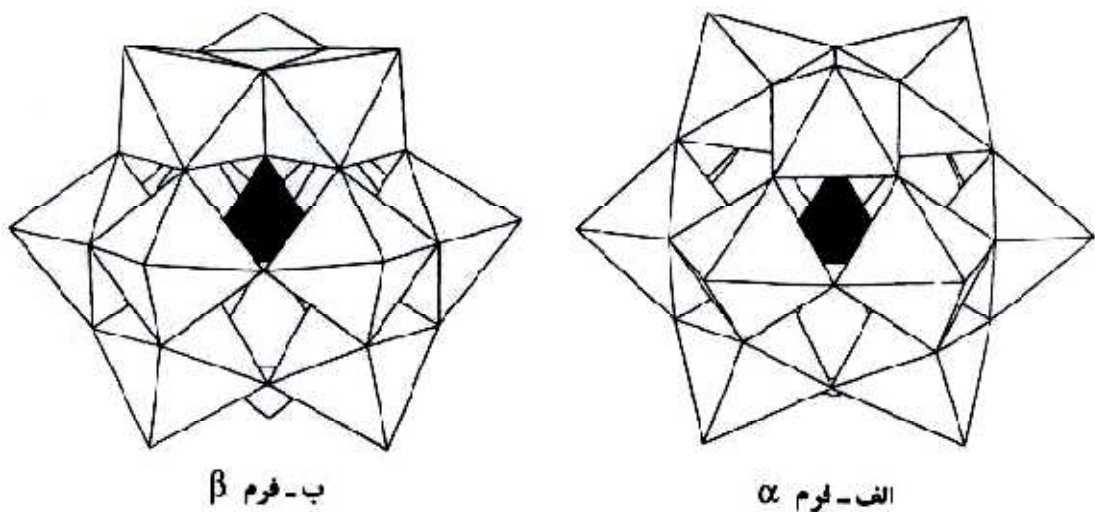
ترکیبات هتروپلی در حالت جامد شامل پلی آنیون، کاتیون و آب بلوری می‌باشند. هریک از این واحدهای ساختاری، ساختار نوع اول را تشکیل می‌دهند. با توجه به تعداد واحدهای هشت وجهی تشکیل دهنده، چهار نوع ساختار کگین، داوسن، پرایسلر^۲ و دکستر-سیلورتون شناخته شده است. در مرکز هریک از واحدهای هشت وجهی، اتم فلز واسطه مانند تنگستن و مولیبدن قرار می‌گیرد. اتم‌های اکسیژن در رأس‌ها قرار دارند. واحدهای هشت وجهی از طریق لبه، گوشه و وجه با هم اشتراک دارند. [۱۳]

¹ Primary Structure

² Preyssler

۱-۳-۱- ساختار کگین

هتروپلی آنیون با ساختار کگین اولین هتروپلی شناخته شده است [۲۰]، فرمول عمومی آن $(\text{W}^{\text{VI}})^x \text{Mo}^{\text{VI}}^{x-8} [\text{XM}_{12}\text{O}_{40}]$ است. X هترواتم، x درجه اکسایش هترواتم و M اتم الحاقی (معمولًاً Zn^{II} , Co^{II} , V^{V} و ...) جانشین شود. یون M^{VI} می‌تواند با یون‌های فلزی دیگری مانند M_3O_{13} در بر می‌گیرد. به ساختار کگین چهار گروه سه تایی از هشت وجهی‌ها را با فرمول M_3O_{13} در بر می‌گیرد. به طوریکه هر هشت وجهی از طریق اشتراک‌های لبه‌ای به هشت وجهی‌های دیگر در یک گروه و از طریق رأس به گروه‌های دیگر متصل است. به این ترتیب در مرکز مولکول یک حفره‌ی چهار وجهی ایجاد می‌شود که هترواتم در آن قرار می‌گیرد. پنج ایزومر (α , β , γ , δ , ϵ) برای ساختار کگین وجود دارد که از چرخش $\frac{\pi}{3}$ یک، دو، سه یا چهار گروه هشت وجهی حاصل می‌شوند [۲۰, ۱۹].



شکل (۱-۲): ساختار کگین [۲۱]